

Communication Systems (25751-4)

Problem Set 04 (Solution)

Fall Semester 1401-02

Department of Electrical Engineering

Sharif University of Technology

Instructor: Dr. M. Pakravan



(*) starred problems are optional and have a bonus mark!

1 DSB Modulation with Periodic Waveforms

A DSB signal is generated by multiplying the message signal $m(t)$ with the periodic rectangular waveform shown in Figure 2 and filtering the product with a bandpass filter tuned to the reciprocal of the period T_p , with bandwidth $2W$, where W is the bandwidth of the message signal.

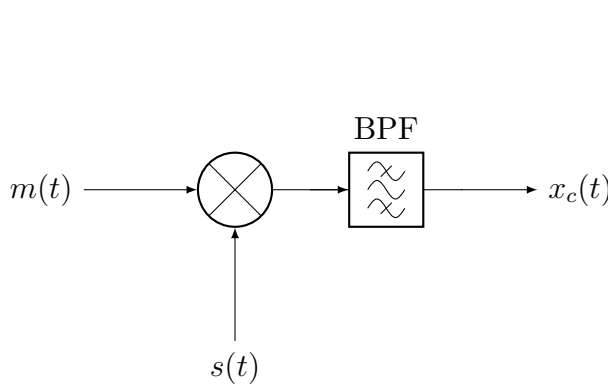


Figure 1: DSB Modulator

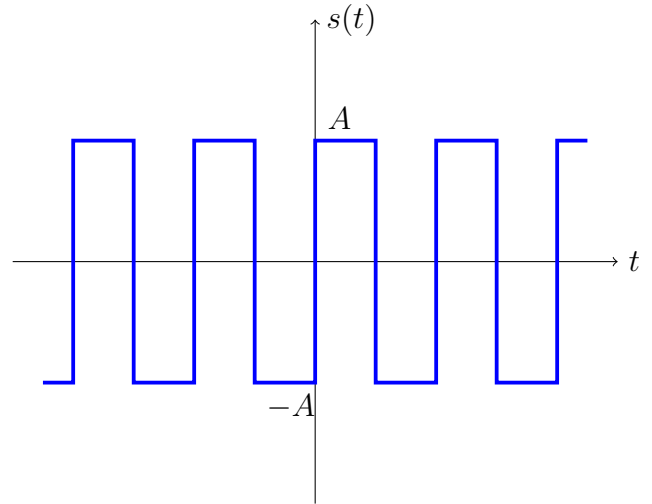


Figure 2: $s(t)$

1. Demonstrate that the output $x_c(t)$ of the BPF is the desired DSB signal

$$x_c(t) = A_c m(t) \sin(2\pi f_c t)$$

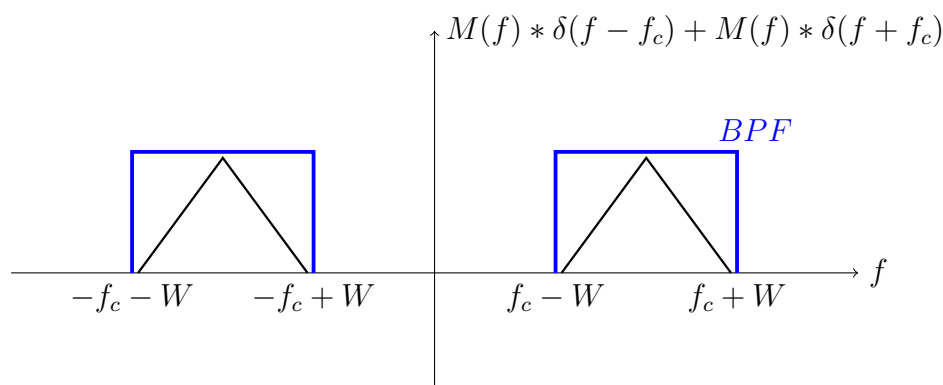
where $f_c = \frac{1}{T_p}$, and find A_c .

2. Show that it is not necessary that the periodic signal be rectangular. This means that any periodic signal with period T_p can substitute for the rectangular signal in Figure 2.

۱. با توجه به اینکه سیگنال $m(t)$ پایین‌گذراست، هارمونیک اصلی $s(t)$ را در نظر می‌گیریم و مثل بسط سری فوریه به سیستم می‌نگریم.

$$s(t) = \sum_{n=-\infty}^{+\infty} c_n e^{j\frac{\pi}{T_p} n t} = \sum_{n=-\infty}^{+\infty} c_n e^{j\pi f_c n t}$$

$$\begin{aligned} x_c(t) &= \text{BPF} \left\{ \sum_{n=-\infty}^{+\infty} c_n m(t) e^{j\pi f_c n t} \right\} \\ &= \sum_{n=-\infty}^{+\infty} c_n \text{BPF} \{ m(t) e^{j\pi f_c n t} \} \\ &= m(t) [c_{+1} e^{j\pi f_c t} + c_{-1} e^{-j\pi f_c t}] \end{aligned}$$



$$\begin{aligned} c_{+1} &= \frac{1}{T_p} \int_{-\frac{T_p}{2}}^{+\frac{T_p}{2}} A \text{sign}(t) e^{-j\pi f_c t} dt \\ &= \frac{1}{\pi} \int_{-\pi}^{\pi} A \text{sign}(t) e^{-jt} dt \\ &= j \mathcal{I}m \left\{ \frac{A}{\pi} \int_{\circ}^{\pi} e^{-jt} dt \right\} = \frac{A}{\pi} j \mathcal{I}m \left\{ \frac{e^{-jt}}{-j} \Big|_{\circ}^{\pi} \right\} = \frac{2A}{j\pi} \end{aligned}$$

$$\Rightarrow c_{-1} = -\frac{2A}{j\pi}$$

$$x_c(t) = m(t) \frac{2A}{j\pi} [e^{j\pi f_c t} - e^{-j\pi f_c t}] = m(t) \frac{2A}{j\pi} 2j \sin(\pi f_c t) = \frac{4A}{\pi} m(t) \sin(\pi f_c t)$$

۲. مشابه بخش قبل می‌توان نوشت:

$$\begin{aligned}
 x_c(t) &= m(t) [c_{\backslash} e^{j\mathfrak{r}\pi f_c t} + c_{-\backslash} e^{-j\mathfrak{r}\pi f_c t}] \\
 &= m(t) [c_{\backslash} e^{j\mathfrak{r}\pi f_c t} + c_{\backslash}^* e^{-j\mathfrak{r}\pi f_c t}] \\
 &= \mathfrak{r}m(t) \mathbf{Re}\{c_{\backslash} e^{j\mathfrak{r}\pi f_c t}\} \\
 &= \mathfrak{r}m(t) \mathbf{Re}\{(c_{\backslash,r} + jc_{\backslash,i})(\cos(\mathfrak{r}\pi f_c t) + j \sin(\mathfrak{r}\pi f_c t))\} \\
 &= \mathfrak{r}m(t) [c_{\backslash,r} \cos(\mathfrak{r}\pi f_c t) - c_{\backslash,i} \sin(\mathfrak{r}\pi f_c t)] \\
 &= \mathfrak{r}m(t) \sqrt{c_{\backslash,r}^2 + c_{\backslash,i}^2} \left[\frac{c_{\backslash,r}}{\sqrt{c_{\backslash,r}^2 + c_{\backslash,i}^2}} \cos(\mathfrak{r}\pi f_c t) - \frac{c_{\backslash,i}}{\sqrt{c_{\backslash,r}^2 + c_{\backslash,i}^2}} \sin(\mathfrak{r}\pi f_c t) \right] \\
 &= \mathfrak{r}m(t) \sqrt{c_{\backslash,r}^2 + c_{\backslash,i}^2} \left[\cos(\tan^{-1}(\frac{c_{\backslash,i}}{c_{\backslash,r}})) \cos(\mathfrak{r}\pi f_c t) - \sin(\tan^{-1}(\frac{c_{\backslash,i}}{c_{\backslash,r}})) \sin(\mathfrak{r}\pi f_c t) \right] \\
 &= \mathfrak{r}m(t) \sqrt{c_{\backslash,r}^2 + c_{\backslash,i}^2} \cos\left(\mathfrak{r}\pi f_c t + \tan^{-1}(\frac{c_{\backslash,i}}{c_{\backslash,r}})\right)
 \end{aligned}$$

در نتیجه خروجی همچنان یک سیگنال DSB است.

2 Weaver's SSB Modulator

Weaver's SSB modulator is illustrated in Figure 3. By taking the input signal as $x(t) = \cos(2\pi f_m t)$, where $f_m < W$, demonstrate that by proper choice of f_1 and f_2 the output is a SSB signal.

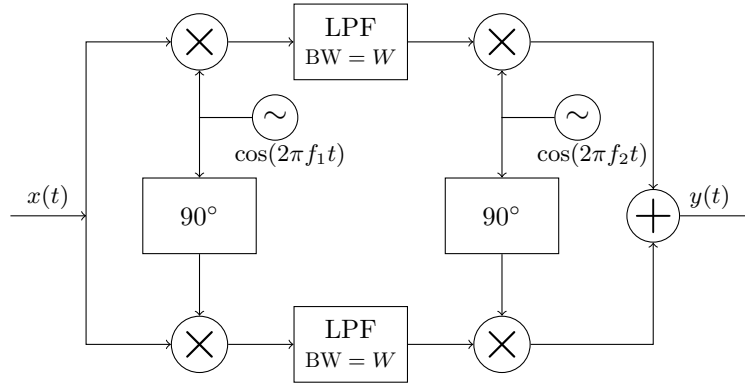


Figure 3: Weaver's SSB Modulator

پاسخ

ورودی فیلترهای پایین‌گذر بالا و پایین برابر است با:

$$x_1(t) = \cos(2\pi f_m t) \cos(2\pi f_1 t) = \frac{1}{2} \left[\cos(2\pi(f_1 - f_m)t) + \cos(2\pi(f_1 + f_m)t) \right]$$

$$x_2(t) = \cos(2\pi f_m t) \sin(2\pi f_2 t) = \frac{1}{2} \left[\sin(2\pi(f_2 - f_m)t) + \sin(2\pi(f_2 + f_m)t) \right]$$

حال f_1 را به نحوی انتخاب می‌کنیم که $|f_1 - f_m| < W$ و $f_1 + f_m > W$. در این صورت فرکانس‌های بیرون از محدوده $[-W, W]$ فیلتر می‌شوند و خروجی فیلترهای پایین‌گذر بالا و پایین برابر است با:

$$x_1(t) = \frac{1}{2} \cos(2\pi(f_1 - f_m)t)$$

$$x_2(t) = \frac{1}{2} \sin(2\pi(f_2 - f_m)t)$$

پس خروجی سیستم برابر است با:

$$y(t) = \frac{1}{2} \left[\cos(2\pi(f_1 - f_m)t) \cos(2\pi f_2 t) + \sin(2\pi(f_2 - f_m)t) \sin(2\pi f_1 t) \right]$$

که فرم مشابه یک سیگنال SSB را دارد چون سیگنال $\sin(2\pi(f_2 - f_m)t)$ تبدیل هیلبرت سیگنال $\cos(2\pi(f_1 - f_m)t)$ است. در نتیجه می‌توان نوشت:

$$y(t) = \frac{1}{2} \cos(2\pi(f_2 - f_1 + f_m)t)$$

پس برای یک سیگنال USSB مدوله شده روی فرکانس f_c داریم:

$$f_2 - f_1 + f_m = f_c + f_m \Rightarrow f_2 = f_c + f_1$$

و برای یک سیگنال LSSB مدوله شده روی فرکانس f_c داریم:

$$f_2 - f_1 + f_m = f_c - f_m \Rightarrow f_2 = f_c + f_1 - 2f_m$$

در هر دو حالت با هر f_c و f_1 مجاز، f_2 به دست می‌آید.

به عنوان یک مثال، می‌توان $f_1 = W$ در نظر گرفت. در این صورت حتماً $|f_1 - f_m| = |W - f_m| < W$ خواهد بود و همچنین $f_1 + f_m = W + f_m > W$ خواهد شد. در این حالت، برای سیگنال USSB، فرکانس f_2 به صورت $f_2 = f_c + f_1 = f_c + W$ خواهد بود و برای سیگنال LSSB، فرکانس f_2 به صورت $f_2 = f_c + f_1 - 2f_m = f_c + W - 2f_m$ خواهد شد.

3 VSB Signal

A VSB signal $y(t)$ is as below. α is a non negative constant less than one.

$$y(t) = \frac{\alpha}{2} \cos(2\pi(f_c + f_m)t) + \frac{1-\alpha}{2} \cos(2\pi(f_c - f_m)t) + \cos(2\pi f_c t)$$

1. Prove that the envelop of the signal can be calculated as below. $d(t)$ represents the distortion.

$$e(t) = \left[1 + \frac{1}{2} \cos(2\pi f_m t)\right] d(t)$$

$$d(t) = \sqrt{1 + \left[\frac{(1-2\alpha) \sin(2\pi f_m t)}{2 + \cos(2\pi f_m t)}\right]^2}$$

2. Find α such that it maximize $d(t)$.

پاسخ

۱. می توان نوشت:

$$y(t) = \frac{\alpha}{2} [\cos(2\pi f_c t) \cos(2\pi f_m t) - \sin(2\pi f_c t) \sin(2\pi f_m t)] +$$

$$+ \frac{1-\alpha}{2} [\cos(2\pi f_c t) \cos(2\pi f_m t) + \sin(2\pi f_c t) \sin(2\pi f_m t)] + \cos(2\pi f_c t)$$

در نتیجه داریم:

$$y(t) = -\alpha [\sin(2\pi f_c t) \sin(2\pi f_m t)] + \frac{1}{2} [\cos(2\pi f_c t) \cos(2\pi f_m t) + \sin(2\pi f_c t) \sin(2\pi f_m t)] + \cos(2\pi f_c t).$$

حال برای محاسبه ی دامنه ی سیگنال، سعی می کنیم سیگنال را به صورت $y(t) = A(t) \cos(2\pi f_c t) + B(t) \sin(2\pi f_c t)$ بنویسیم:

$$y(t) = \cos(2\pi f_c t) \left[1 + \frac{1}{2} \cos(2\pi f_m t)\right] + \sin(2\pi f_c t) \left[\left(\frac{1}{2} - \alpha\right) \sin(2\pi f_m t)\right]$$

و در نتیجه خواهیم داشت:

$$y_I(t) = 1 + \frac{1}{2} \cos(2\pi f_m t),$$

$$y_Q(t) = -\left(\frac{1}{2} - \alpha\right) \sin(2\pi f_m t).$$

بنابراین:

$$e(t) = \sqrt{y_I^2(t) + y_Q^2(t)}$$

$$= \sqrt{\left[1 + \frac{1}{2} \cos(2\pi f_m t)\right]^2 + \left[\left(\frac{1}{2} - \alpha\right) \sin(2\pi f_m t)\right]^2}$$

$$= \left[1 + \frac{1}{2} \cos(2\pi f_m t)\right] \sqrt{1 + \left[\frac{\left(\frac{1}{2} - \alpha\right) \sin(2\pi f_m t)}{1 + \frac{1}{2} \cos(2\pi f_m t)}\right]^2}$$

$$= \left[1 + \frac{1}{2} \cos(2\pi f_m t)\right] \sqrt{1 + \left[\frac{(1-2\alpha) \sin(2\pi f_m t)}{2 + \cos(2\pi f_m t)}\right]^2}$$

۲. از آن جا که می دانیم $0 \leq \alpha < 1$ ، خواهیم داشت $(1-2\alpha)^2 \leq 1$ و مقدار بیشینه ی $d(t)$ در $\alpha^* = 0$ رخ می دهد.

4 A Simple Scrambler System

The message signal $m(t)$ has a Fourier transform shown in Figure 4. This signal is applied to the system shown in Figure 5 to generate the signal $y(t)$.

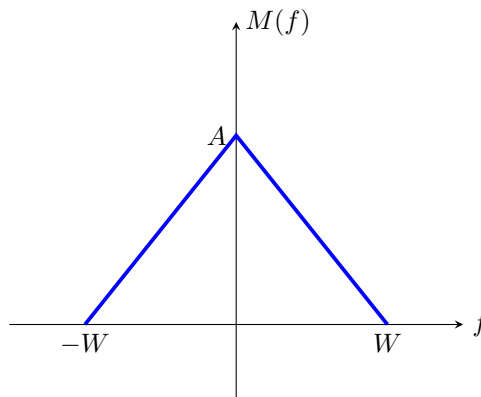


Figure 4: Fourier Transform of $m(t)$

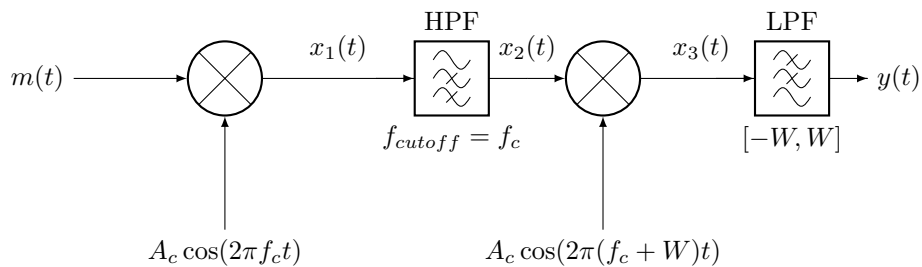
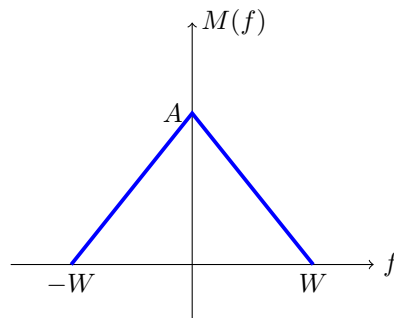


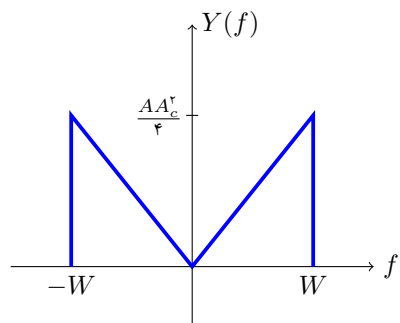
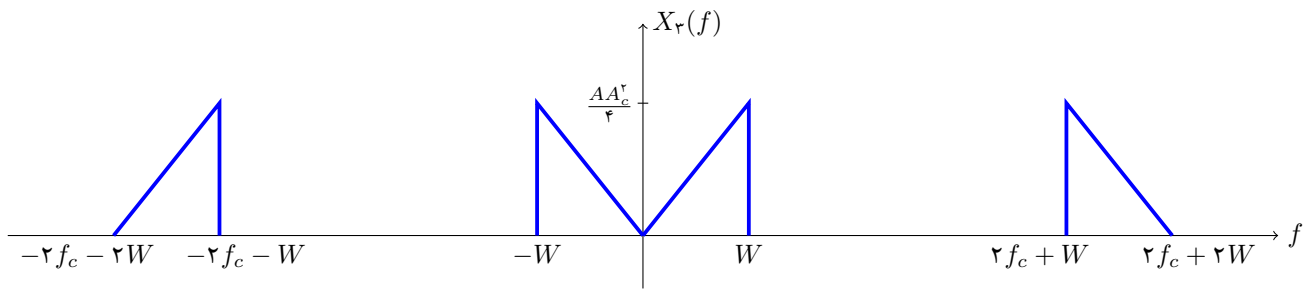
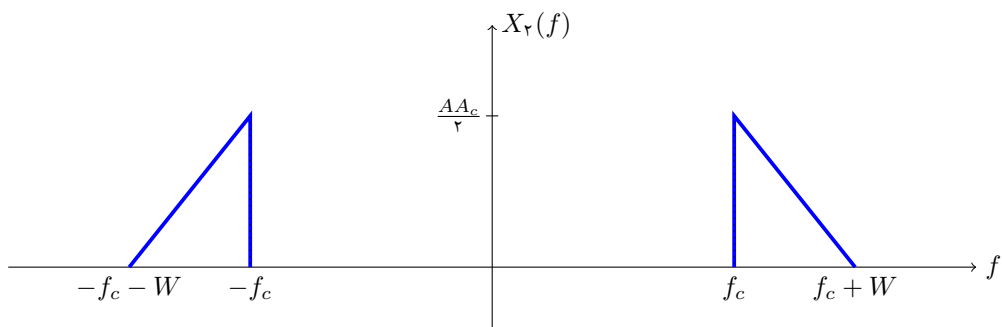
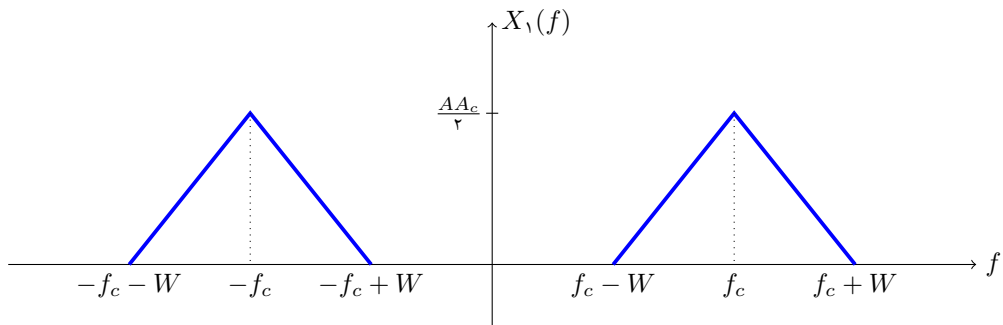
Figure 5: simple scrambler

1. Plot $Y(f)$, the Fourier transform of $y(t)$.
2. Show that if $y(t)$ is transmitted, the receiver can pass it through a replica of the system shown in Figure 5 to obtain $m(t)$ back. This means that this system can be used as a simple scrambler to enhance communication privacy.

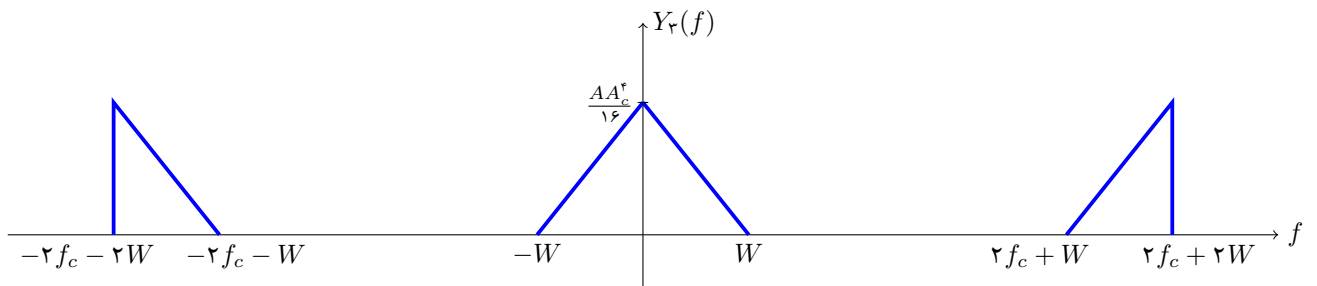
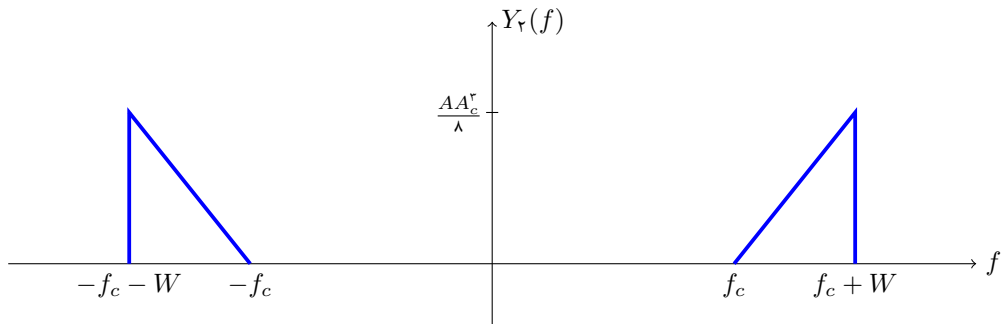
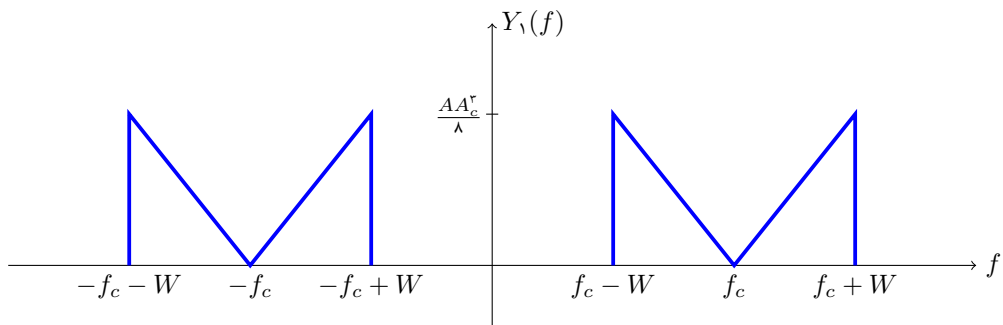
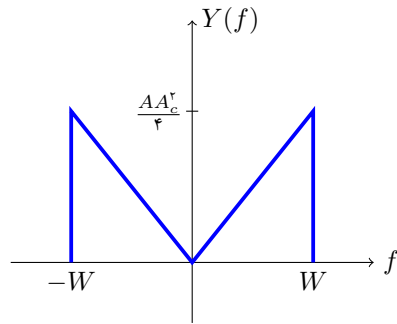
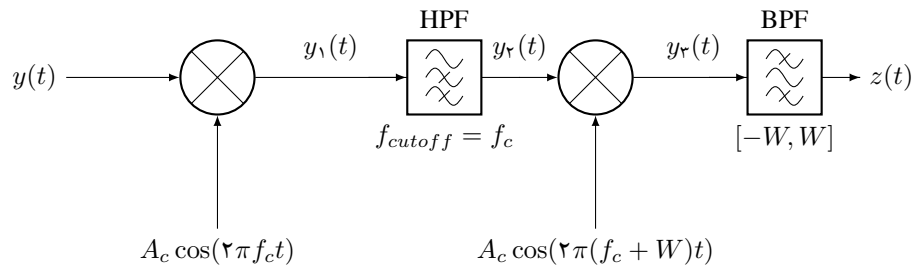
پاسخ

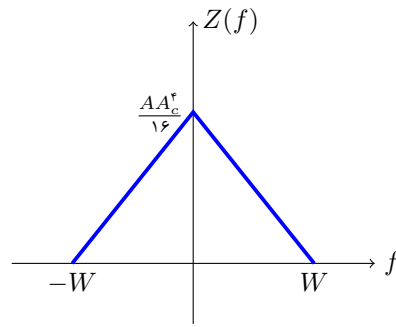
۱. با توجه به نام گذاری سیگنال ها، مرحله به مرحله پیش می رویم.





۲. مجدداً سیگنال‌ها را نام‌گذاری کرده و مرحله به مرحله پیش می‌رویم.





در نتیجه:

$$z(t) = \frac{A_c^*}{16} m(t)$$

یعنی سیگنال خروجی با سیگنال ارسال شده تنها در یک ضریب اختلاف دارد.

5 VSB Modulation System

A vestigial sideband modulation system is shown in Figure 5. The bandwidth of the message signal $m(t)$ is W and the transfer function of the bandpass filter is shown in the figure 7.

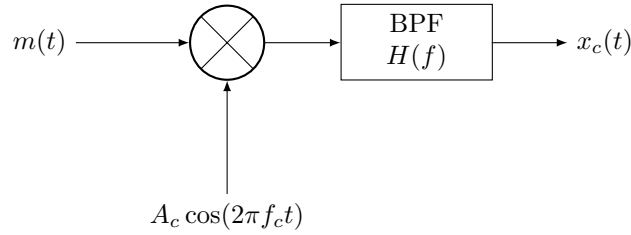


Figure 6: VSB Modulator

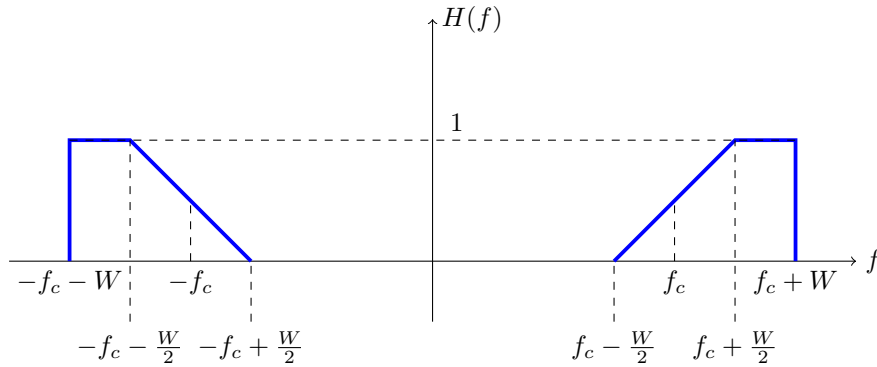


Figure 7: $H(f)$

1. Determine $h_{lp}(t)$, the lowpass equivalent of $h(t)$, where $h(t)$ represents the impulse response of the bandpass filter.
2. Derive an expression for the modulated signal $x_c(t)$.

پاسخ

۱. برای یافتن معادل باند پایه‌ی فیلتر، باید محتوای فرکانسی فیلتر در فرکانس‌های مثبت را در ۲ ضرب کنیم و محتوای فرکانسی آن در فرکانس‌های منفی را صفر کنیم. سپس فیلتر را به فرکانس مرکزی صفر منتقل کنیم.

$$H_{lp}(f) = \tilde{H}(f) = 2u(f + f_c)H(f + f_c) = 2 \begin{cases} \frac{1}{W}f + \frac{1}{2} & |f| \leq \frac{W}{2} \\ 1 & \frac{W}{2} \leq f \leq W \\ 0 & \text{otherwise} \end{cases}$$

در نتیجه:

$$\begin{aligned}
 h_{lp}(t) &= \tilde{h}(t) = \mathcal{F}^{-1}\{\tilde{H}(f)\} \\
 &= \int_{-\frac{W}{T}}^W \tilde{H}(f) e^{j\pi f t} df \\
 &= \int_{-\frac{W}{T}}^{\frac{W}{T}} \left(\frac{Tf}{W} + 1\right) e^{j\pi f t} df + \int_{\frac{W}{T}}^W T e^{j\pi f t} df \\
 &= \frac{T}{W} \left[\frac{1}{j\pi t} f e^{j\pi f t} + \frac{1}{\pi^2 t^2} e^{j\pi f t} \right]_{-\frac{W}{T}}^{\frac{W}{T}} + \frac{1}{j\pi t} e^{j\pi f t} \Big|_{\frac{W}{T}}^{\frac{W}{T}} + \frac{T}{j\pi t} e^{j\pi f t} \Big|_{\frac{W}{T}}^W \\
 &= \frac{1}{j\pi t} e^{j\pi W t} + \frac{j}{\pi^2 t^2 W} \sin(\pi W t) \\
 &= \frac{j}{\pi t} [\text{sinc}(W t) - e^{j\pi W t}]
 \end{aligned}$$

۲. سیگنال ورودی به فیلتر را $v(t)$ می‌نامیم. داریم:

$$\begin{aligned}
 v(t) &= A_c m(t) \cos(\pi f_c t) = v_I(t) \cos(\pi f_c t) - v_Q(t) \sin(\pi f_c t) \\
 \Rightarrow v_I(t) &= A_c m(t), \quad v_Q(t) = 0 \\
 \Rightarrow v_{lp}(t) &= v_I(t) + j v_Q(t) = A_c m(t)
 \end{aligned}$$

حال داریم:

$$\begin{aligned}
 x_{c,lp}(t) &= \frac{1}{T} v_{lp}(t) * h_{lp}(t) \\
 &= \frac{1}{T} A_c m(t) * \frac{j}{\pi t} [\text{sinc}(W t) - e^{j\pi W t}] \\
 &= \frac{1}{T} A_c \left[m(t) * \frac{j \text{sinc}(W t)}{\pi t} + m(t) * \frac{e^{j\pi W t}}{j\pi t} \right]
 \end{aligned}$$

و با توجه به پهنای باند $m(t)$ می‌توان نوشت:

$$\mathcal{F}\{m(t) * \frac{e^{j\pi W t}}{j\pi t}\} = -M(f) \text{sign}(f - W) = M(f)$$

نتیجتاً:

$$\begin{aligned}
 x_{c,lp}(t) &= \frac{1}{T} A_c \left[m(t) * \frac{j \text{sinc}(W t)}{\pi t} + m(t) \right] \\
 \Rightarrow x_c(t) &= \text{Re}\{x_{c,lp}(t) e^{j\pi f_c t}\} = \frac{1}{T} A_c m(t) \cos(\pi f_c t) - \frac{1}{T} A_c \left[m(t) * \frac{\text{sinc}(W t)}{\pi t} \right] \sin(\pi f_c t)
 \end{aligned}$$

6 (*) Modulation and Chirp Signals

The message signal $m(t)$ has a Fourier transform $M(f)$. This signal is applied to the system shown in Figure 6 to generate the signal $y(t)$. Assume that $h(t) = A_1 e^{j\pi\omega_0^2 t^2}$ and ω_0 is constant.

1. Find an expression for $y(t)$, in term of $m(t)$ and $M(f)$.
2. Design a system to reconstruct $m(t)$ from $y(t)$.

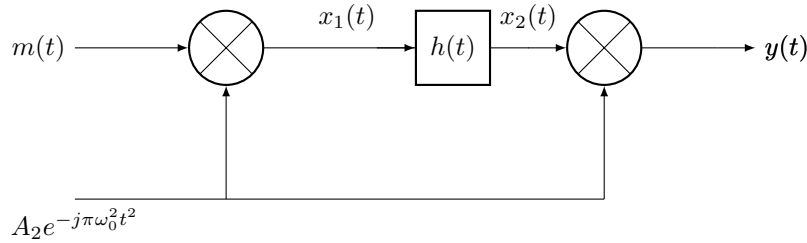


Figure 8: a system with chirp signals

پاسخ

.۱

$$x_1(t) = A_1 m(t) e^{-j\pi\omega_0^2 t^2}$$

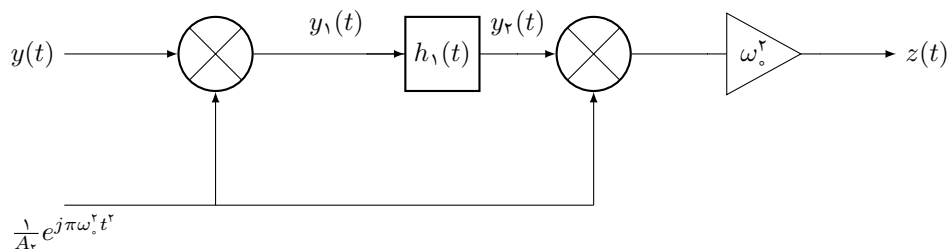
$$\begin{aligned} x_2(t) &= x_1(t) * h(t) \\ &= A_1 A_2 \int_{-\infty}^{\infty} m(\tau) e^{-j\pi\omega_0^2 \tau^2} e^{j\pi\omega_0^2 (t-\tau)^2} d\tau \\ &= A_1 A_2 \int_{-\infty}^{\infty} m(\tau) e^{j\pi\omega_0^2 (t^2 - 2t\tau + \tau^2)} d\tau \\ &= A_1 A_2 e^{j\pi\omega_0^2 t^2} \int_{-\infty}^{\infty} m(\tau) e^{-j\pi\omega_0^2 t\tau} d\tau \\ &= A_1 A_2 e^{j\pi\omega_0^2 t^2} M(\omega_0^2 t) \end{aligned}$$

$$\Rightarrow y(t) = A_1 A_2 M(\omega_0^2 t)$$

در حقیقت، سیگنال زمانی $y(t)$ ، حاوی اطلاعات حوزه‌ی فرکانس سیگنال $m(t)$ است. این اتفاق به برکت حضور و وجود سیگنال‌هایی رخ داده که فرکانس آن‌ها به صورت خطی با زمان تغییر می‌کند، و خبر ناگوار آنست که این سیگنال در جهان واقعی قابل پیاده‌سازی دقیق نیست، و تقریب‌هایی هم که از آن داریم نسبتاً خطای بالایی دارند. اگر کسی بتواند چنین سیگنالی را دقیق پیاده کند، احتمالاً انقلابی در صنعت پردازش رخ خواهد داد!

اما! اتفاق جذاب و زیبا آنست که به برکت حضور عدسی‌ها، چنین سیگنالی در حوزه‌ی مکان بسیار مفت و مسلم وجود دارد و به راحتی می‌توانیم در حوزه‌ی مکان، با دقت بسیار بالایی تبدیل فوریه بگیریم!

۲. سیستم زیر را در نظر بگیرید: $(h_1(t) = \frac{1}{A_1} e^{-j\pi\omega_0^* t^*})$



$$y(t) = A_1 A_r^* M(\omega_0^* t)$$

$$y_1(t) = \frac{1}{A_r} y(t) e^{j\pi\omega_0^* t^*} = A_1 A_r M(\omega_0^* t) e^{j\pi\omega_0^* t^*}$$

$$\begin{aligned} y_2(t) &= y_1(t) * h_1(t) \\ &= A_r \int_{-\infty}^{\infty} M(\omega_0^* \tau) e^{j\pi\omega_0^* \tau^*} e^{-j\pi\omega_0^* (t-\tau)^*} d\tau \\ &= A_r e^{-j\pi\omega_0^* t^*} \int_{-\infty}^{\infty} M(\omega_0^* \tau) e^{j\pi\omega_0^* \tau^*} d\tau \\ &= \frac{A_r}{\omega_0^*} e^{-j\pi\omega_0^* t^*} m(t) \end{aligned}$$

$$\Rightarrow z(t) = m(t)$$